

# Metode de complexitate redusă pentru măsurarea interferenței în rețelele 802.11

*Dragoș Niculescu*

*Catedra de Telecomunicații, ETTI,*

*Universitatea Politehnica din București*

## **Rezumat**

Harta interferenței este o bază de date formată din trei componente disjuncte: rata livrării pachetelor pentru fiecare pereche de noduri din rețea, relațiile de detecție a purtătoarei (CS, carrier sense) pentru fiecare pereche, și rata de livrare pentru fiecare triplet (sursă, destinație, factor de interferență). Metodele curente de achiziționare a acestei baze de date au complexitate ridicată  $O(n^2)$ , unde  $n$  este numărul de noduri, ceea ce le face impracticabile pentru populații mari de dispozitive. În această articol, propunem metode aproximative de măsurare, care reduc timpul total de achiziție prin suprapunerea probabilistică a măsurătorilor.

## **1 Introducere**

Rețelele radio locale și personale sunt mai populare ca oricând. Mediul principal de transmisie sunt frecvențele fără licență în general limitate la 3 pentru 2.4GHz sau 13 pentru 5GHz. Standardele în vigoare (IEEE 802.11, 802.15) nu prevăd metode de gestionare a interferenței sau de partajare a frecvențelor de acces la mediu. Atât în mediile instituționale cât și în cele domestice, dispozitivele folosesc metode ad hoc de gestionare a frecvențelor. Alternativa este configurarea manuală și reevaluarea periodică – ambele necesitând efort uman și expertiză înaltă în propagarea radio.

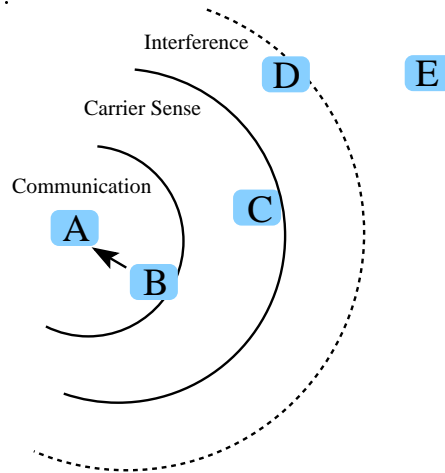
Rețelele de telefonie celulară existente (2G și 3G) sunt limitate de interferență, și vor continua această tendință în viitor. Rețelele radio pentru date nu au încă aceeași popularitate, întindere, și importanță socială, dar toți acești indicatori sunt în creștere. Cele mai multe rețele radio pentru date folosesc frecvențele fără licență la 2.4GHz și 5GHz disponibile în majoritatea țărilor. Utilizarea frecvențelor fără licență este de obicei asociată cu plasarea ad-hoc, fără planificarea în detaliu a propagării radio. În cazul instituțiilor, propagarea radio este estimată inițial, dar procedura de mentenanță este costisitoare. Funcționarea fără licență a adus cu sine și o diversitate mare de aplicare – medii domestice, instituționale, municipale. Pentru aceste rețele de date, problema monitorizării interferenței este importantă în multiple domenii de comunicație:

- rețelele municipale. În Statele Unite și Europa un număr mare de rețele municipale (Metro-Fi) au fost inițiate în ultimii ani – Google Wifi, Philadelphia, Londra, New York City, etc. Specifice acestor rețele sunt extinderea geografică (sute de  $km^2$ ), numărul mare dar omogen de dispozitive implicate, varietatea condițiilor radio. Folosirea judicioasă a frecvențelor și evitarea auto-interferenței necesită reevaluarea periodică a mediului radio pentru a menține acoperirea și funcționarea în condiții schimbătoare. - rețele instituționale. Majoritatea instituțiilor folosesc WiFi (în viitorul apropiat WiMax) în mod centralizat pentru a furniza acces wireless în interior. Propagarea radio în interior este notorie pentru caracterul imprevizibil, depinzând de natura clădirilor și nivelul de activitate umană. Gestionarea acestor rețele din punct de vedere radio necesită costuri recurente pentru mentenanța acoperirii și a calității. Interacțiunea cu dispozitivele personale duce la rezultate imprevizibile și la imposibilitatea de a oferi servicii ce necesită QoS (voce, video).
- rețele WiMax. Standardul 802.16 este în lucru, dar se preconizează finalizarea sa în 2010. Dispozitivele însă sunt deja disponibile, unele incluse în laptop-uri (Intel) sau asistenți digitali (Nokia). Standardul vizează problema QoS insuficient rezolvată în 802.11, atât pentru rețelele de date cât și pentru cele de voce. Se preconizează ca aceste rețele vor avea o popularitate mare în următorii ani, cu utilizare atât cu licență cât și fără.
- rețele domestice. WiFi este proliferat la o densitate crescândă în aparta-

mente prin: telefoane WiFi/VoIP, dispozitive MP3, distribuire media in apartament (media center), calculatoare personale (laptop), asistenti digitali (PDA), camere si imprimante. Fiecare dispozitiv activ este de fapt un agent de interferenta pentru o comunicatie legitima desfasurata de un alt dispozitiv in alt apartament. Din p.d.v administrativ, rețelele domestice sunt independente deci nu pot fi coordonate intr-un mod centralizat.

- rețelele personale. Acestea sunt o subclasa a rețelelor domestice si implica conectarea fara fir a dispozitivelor portabile – casca Bluetooth pentru telefonul celular, player-ul MP3, etc. Frecvențele folosite sunt deasemenea cele fara licenta in banda de 2.4GHz, in competitie directa cu dispozitivele WiFi.
- rețelele de senzori. Protocolul Zigbee standardizat de 802.15.4 deasemenea foloseste banda fara licenta de 2.4GHz in posibila competitie cu dispozitivele WiFi. rețelele de senzori sunt folosite pt monitorizare in agricultura, mediu, sau in interiorul cladirilor. In cazul topologiilor multihop furnizeaza exemplul clasic de auto-interferenta, cand pachetele aceleiasi conexiuni concureaza pentru accesul la mediu (aer). Aceste rețele sunt caracterizate de conditii stabile, durata lunga de functionare, dificultate de gestionat manual – datorita numarului mare de dispozitive, fiecare cu capabilitati hardware foarte reduse.
- rețelele cognitive. Un domeniu nou de cercetare sunt rețelele care permit o “agilitate” limitata in domeniul frecvențelor (spectrum agility). Desi in faza incipienta de cercetare, aceste rețele promit accesul la un numar mai mare de frecvențe pentru utilizatorii fara licenta (secundari) – in cazurile in care utilizatorii cu licenta (primari) nu sunt prezenti. Caracterul interferentei generate depinde de frecvența puratoare si necesita solutii algoritmice diferite. Exemplu: protocolul 802.11 a fost proiectat pt a functiona la frecvențe 900MHz-2.4GHz. Adaptarea la 5GHz a adus cu sine necesitatea schimbarii temporizarilor si a parametrilor din protocol. O problema deschisa este legata de posibilitatea folosirii 802.11 la 10GHz (distanta redusa, directionalitate, interferenta redusa, dar necesita ceasuri de inalta precizie) sau la 400MHz (propagare prin cladiri, arie mare de interferenta, numar redus de benzi de frecvența). In toate aceste cazuri masurarea interferentei este necesara pentru a garanta utilizatorilor primari (platitori

Fig. 1: Posibilele relații de interferență între dispozitive aflate în aceeași vecinătate radio.



de licență) un nivel maxim de interferență din partea celor secundari. Deasemenea, prezența unui număr mare de canale disponibile duce la creșterea complexității pentru coordonarea utilizatorilor secundari (vezi mai jos secțiunea 2.3).

## 2 Problematika generală a interferenței

Posibilele relații de interferență între două dispozitive radio de tip CSMA sunt ilustrate în figura 1. În realitate aceste zone nu sunt circulare ci adoptă forme neregulate, dictate de propagarea radio, dar relațiile de incluziune între regiuni rămân valide. Cea mai mică regiune, între dispozitivele A și B este cea în care comunicarea este posibilă la nivelul legăturii de date. De obicei, această relație este bidirecțională, de exemplu în cazul 802.11 fiecare pachet este confirmat de către recipient. La o distanță mai mare, C poate detecta prezența lui A, dar semnalul este prea slab pentru a decoda pachetele. Aceasta este zona de “carrier sense”, și implementează o caracteristică de bază a protocoalelor de tip CSMA, precum 802.11. Folosind vectorul NAV, C amână folosirea mediului pe perioada cât mediul este perceput ca ocupat de către A, chiar dacă decodarea pachetelor de la A nu este posibilă. Dispozitivele aflate la o distanță mai mare (de exemplu D) nu pot detecta prezența lui A, și pot distruge involuntar pachetele primite de A. Aceasta ultimă zonă

---

nu are un caracter fix, ci depinde de pozitia si puterea emitatorului catre A. Din acest motiv, relatia de interferenta este definita pentru triplete ordonate  $(B,A,D) = (\text{sursa}, \text{destinatia}, \text{agent de interferență})$  si nu pentru perechi de noduri  $(D,A)$ .

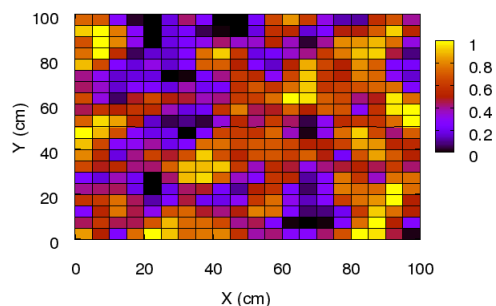
Pentru fiecare dispozitiv A, scopul este de a determina care este relatia cu partenerul de comunicatie B si cu potentialele surse de interferenta (dispozitive de tip C si D). Comunicarea dintre A si B poate fi exprimata ca o probabilitate de livrare (PDR packet delivery ratio), concurenta dintre A si C poate fi exprimata ca o ratie de partajare a mediului, iar influenta lui D asupra comunicarii A-B ca o fractie din PDR. Obtinerea acestor statistici si actualizarea lor in timp real necesita fie colaborarea altor dispozitive, fie rezervarea unui timp doar pentru masurare. Trebuie subliniat ca desi in acest exemplu C si D apar ca factori de interferenta la transmisie respectiv receptie, ei transporta trafic legitim in alta regiune a rețelei pentru care A sau B pot fi factori de interferenta. Nodurile B, C, si D trebuie deasemenea sa-si determine vecinii si relatiile de interferenta cu acestia.

Intr-o retea cu multe dispozitive – de exemplu WLAN in institutie – statiile de acces sunt configurate de obicei manual in functie de acoperirea pe care o furnizeaza. In rețelele de tip mesh sau ad-hoc, nodurile formeaza un graf conectat in care interferenta este mai intensa. rețelele de senzori sunt similare in structura rețelelor mesh, cu diferenta ca resursele nodurilor sunt mult mai reduse, iar regimul de functionare are un caracter mai stabil pe termen lung. In toate aceste cazuri este posibil ca performanta unei matrici de trafic sa fie predictibila in cazul in care toate relatiile de tip  $(A,B)$ ,  $(A,C)$ , si  $(B,A,D)$  sunt cunoscute cu fractiunile asociate.

Relatiile de interferenta au un caracter variabil in timp, si masurarea lor trebuie repetata periodic. In cazurile in care dispozitivele sunt nomade, relatiile de interferenta se pot schimba la scara orelor sau minutelor. Datorita multitudinii cailor de propagare (multipath) in interior, mici schimbari de pozitie a unui dispozitiv pot duce la schimbari masive in propagarea semnalului. Pentru a exemplifica tipicul problemei, prezentam urmatorul experiment. Cu ajutorul unui robot, am masurat distributia spatiala a semnalului WiFi de la infrastructura de access WiFi intr-o camera de birou tipica. Semnalul este caracterizat la nivelul legaturii de date de probabilitatea de livrare (PDR).

In functie de unda purtatoare folosita (5GHz in acest experiment cu dispozitive 802.11a) variatiile chiar la scara centimetrelor pot fi majore (figura 2). Prezenta unui laptop sau a altui dispozitiv activ in aceasta harta ar

Fig. 2: Probabilitatea de livrare pachete variază la scară mică.



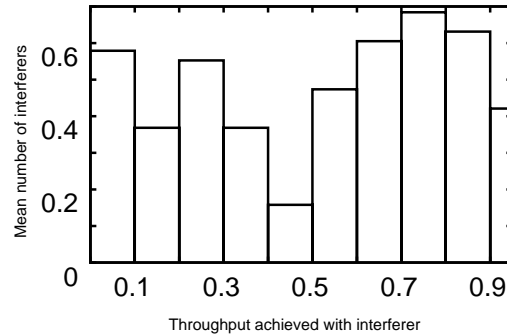
schimba complet peisajul semnalului WiFi – dispozitive de tipul C sau D (folosind notațiile din figura 1). Aceasta imagine este obținută în urma unui proces de măsurare care durează aproximativ 30 de minute și implică libertatea robotului de a explora în detaliu spațiul de interes. O soluție de acest tip, deși ideală din punctul de vedere al estimării interferenței, este dificil de implementat la scară largă.

## 2.1 Cât de raspândită este interferența într-o rețea 802.11 instituțională tipică?

Intr-o clădire de 40x60m am plasat 20 de puncte de acces în banda de 802.11a 5GHz cu o acoperire de tip B, C (notațiile din Figura 1) de aproximativ 18m și o acoperire de tip D de aproximativ 35m. Graficul de comunicare obținut are 5 componente deci rețeaua nu este potrivită pentru accesul de tip mesh, ci doar WLAN. Pentru fiecare dispozitiv în medie 1.9 noduri se află în zona B, 2.6 în zona C, și 5 în zona D. Zonele B și C însă nu sunt cele mai periculoase, fiind tratate prin metoda de acces standard CSMA. O parte din cele din zona D pot fi contracarate cu mecanisme de tip RTS/CTS, dar acestea sunt cunoscute pentru reducerea drastică a capacității, în special pentru pachetele mici (VoIP). Terminalele ascunse (de tip D) sunt cele care au un efect distructiv la destinație și duc la creșterea numărului de retransmisii.

În figura 3, prezentăm histograma dispozitivelor de tip D clasate după efectul distructiv pe care îl au. Pe orizontala avem rata de livrare (PDR) B  $\rightarrow$  A obținută în prezența unui dispozitiv D. Cumulând primele 4

Fig. 3: Histograma dispozitivelor de tip D (agenți de interferență) și efectul distructiv pe care îl au asupra comunicației  $A \rightarrow B$ .



intervale, se obtine un numar de 2 dispozitive de tip D care reduc capacitatea la 40% sau mai putin. Cumuland primele 2 intervale, obtinem aproximativ un terminal ascuns care reduce capacitatea la 20%. Aceasta estimare arata ca datorita neregularitatilor zonelor de propagare interferenta generata de terminale ascunde determina o scadere dramatica a capacitatii. Intr-o retea mesh, densitatea necesara este mai mare decat in scenariul WLAN, iar ponderea terminalelor ascunde va fi mai mare decat in acest experiment.

## 2.2 Stadiul actual al cercetării

In sistemele celulare, interferenta este tratata ca zgomot de catre cele mai multe transceivere din telefoanele folosite in prezent. Cercetarea academica si industriala insa a dezvoltat mai multe metode de detectare a utilizatorilor multipli [1], cuplate cu metode de anulare a interferentei. La nivelul fizic, cateva din metodele propuse pentru a anula interferenta sunt ISI (interferenta intre simboluri), MIMO (foloseste mai multe antene pe aceeasi purtatoare atat la transmitator cat si la receptor), si MUD (detectia utilizatorilor multipli). Aceste metode insa folosesc intensiv algoritmi de procesare a semnalelor cu complexitate mare, ceea ce a dus la evitarea lor de catre fabricantii de cipuri radio.

La nivelele superioare, metodele mentionate mai sus nu sunt accesibile, iar un pachet afectat de interferenta este de obicei pierdut. O lucrare recenta [2] propune combinarea copiilor primite la puncte de access diferite pentru a reduce BER (bit error rate). Aceasta insa necesita acceptarea copiilor pachetelor considerate corupte de catre nivelul fizic, si procesarea lor la o lo-

cație centralizată. În cazul particular 802.11 (standard 1997), există câteva mecanisme care să diminueze parțial interferența. Mecanismul RTS/CTS funcționează în modul următor: transmitatorul cere printr-un mesaj RTS broadcast permisiunea de transmisie, iar nodul destinație răspunde cu CTS, de asemenea broadcast. Toate dispozitivele care primesc pachetul CTS se abțin de la accesul la mediu pe perioada cerută. Acest mecanism reduce frecvența fenomenului 'terminal ascuns', dar nu rezolvă problema unui dispozitiv care nu aude nici RTS nici CTS, dar este suficient de aproape pentru a distruge pachetele la receptor. În plus, mecanismul RTS/CTS are un overhead care este vizibil mai ales în cazul pachetelor mici (voce) pentru care reducerea în capacitate este de 50% - 80%. Un alt mecanism specific 802.11 este cel de carrier sense (care da numele metodei de acces CSMA) a fost de asemenea prevăzut ca o metodă de reducere a interferenței. Deși contracarează un mare număr de coliziuni la recepție, CS suferă de conflicte la transmisie, cunoscute sub numele de 'terminal expus': două terminale aflate în CS unul de altul nu pot transmite în același timp, deși receptorii lor respectivi sunt în afara zonei de interferență la recepție. Există studii [3] care chestionează eficiența CS pentru anumite condiții de trafic. CS aduce cu sine un overhead în timpul de arbitraj, care crește cu numărul de coliziuni, iar la încărcări ridicate în rețele de mare densitate se constată că operarea fără CS are performanțe mai bune.

Noul standard IEEE 802.11n a fost finalizat în octombrie 2009 și încorporează modificări care confirmă problema interferenței. Două metode de creșterea a capacității folosite în 802.11 sunt MIMO (pentru creșterea fiabilității și implicit a distanței de operare), și unirea canalelor (channel bonding). În principal, politica de unire a canalelor și de utilizare a unei benzi de 40MHz poate duce la degradare severă pentru dispozitivele existente folosind 802.11 b sau g. Soluția de bună vecinătate (good-neighbor policy) este ca 802.11n să se limiteze la canale de 20MHz în prezența dispozitivelor mai vechi (b sau g). Aceasta este o soluție conservativă și simplă din punct de vedere tehnic, dar poate conduce la o subutilizare masivă a capacității 802.11n.

La nivelele superioare, interferența între rute a fost studiată pentru rețelele prin cablu [4]. Problema se pune în a găsi rute pentru o matrice de trafic, astfel încât circuitele stabilite să interfereze cât mai puțin în interiorul rutelor din rețea. În cazul rețelelor wireless considerate în acest proiect, situația este exacerbată de interferența în aer, descrisă în paragrafele de mai sus. De obicei, interferența cea mai distructivă se produce între dispozitivele care nu au contact la nivelul legăturii de date.



Un caz oarecum simplificat pentru rețelele wireless este acela al auto-interferenței. Într-o rețea multihop nodurile folosesc mediul radio cu dispozitive semi-duplex, utilizate atât pentru transmisie cât și pentru recepție. Folosirea aceleiași frecvențe de către toate nodurile conduce la fenomenul de autointerferență în care pachetele aceleiași conexiuni concurează pentru obținerea accesului la mediu. Problema auto-interferenței în rețelele multihop a fost identificată mai întâi în 2000 [5] în mod teoretic, și o limită de  $O(\frac{1}{\sqrt{n}})$  biți-metri/secundă a fost stabilită pentru limita capacității. Pentru cazuri mai simple (simplu sir de noduri) capacitatea a fost determinată experimental în 2001 [6] la  $\frac{1}{4}.. \frac{1}{7}$  pentru UDP și  $O(\frac{1}{n})$  pentru TCP. Aceste rezultate pesimiste sunt valabile pentru cazul în care fiecare nod folosește un singur card. Prezența unui singur card face problema tractabilă din punct de vedere teoretic - [7] arată că este posibil de a prezice capacitatea unei rețele date dacă relațiile de interferență sunt cunoscute, dar nu și cum se obțin aceste relații. Trecând la arhitecturile cu carduri multiple, în 2004, Raniwala [8] a arătat că problemele interferenței, alocării frecvențelor, și rutării sunt interdependente. Orice modificare în unul din aspecte duce la schimbări în celelalte două probleme. Alte contribuții [9, 10] încearcă obținerea de rezultate predictibile atunci când graful de dependențe a interferenței este cunoscut. Acesta însă este dificil de obținut în realitate [11], complexitatea fiind de  $O(n^2)$  unde  $n$  este numărul de noduri. Deși de obicei considerate simetrice de majoritatea algoritmilor, frecvențele au în realitate performanțe diferite, deasemenea și cardurile - ceea ce duce la o creștere a complexității odată cu creșterea numărului de frecvențe sau a numărului de carduri disponibile [12]. Cele mai recente metode de contracarare a interferenței [13, 14] folosesc atât modele (inexacte) cât și măsuratori (necesită mult timp) pentru estimarea relațiilor de interferențe dintre dispozitive. Pentru cazul distribuit, fiecare dispozitiv ia decizii locale pentru a evita interferența. Pentru schimbarea frecvenței, soluțiile propuse fie nu respectă standardele în vigoare [15], fie sacrifică performanța/echitatea pe termen scurt [16].

Pentru studiul acoperirii radio și a calității semnalului, există programe precum Radioscape [17], care folosesc algoritmi de ray-tracing și ray-launching pentru modelarea propagării semnalului și efectele de fading și multipath. Acestea însă necesită un efort semnificativ în descrierea în detaliu a clădirii, materialelor, chiar a mobilei de interior. Cerințele de calcul pentru aceste modele sunt de obicei mari (Radioscape rulează pe un cluster de servere de mare putere).

## 2.3 Probleme rămase nerezolvate

Dificultatea măsurării sistematice a interferenței constă în două aspecte: primul administrativ, și al doilea de complexitate algoritmică. Aspectul administrativ se referă la coordonarea dispozitivelor care pot aparține unor entități diferite (instituii, persoane fizice), dar trebuie să pastreze compatibilitatea de protocol. De asemenea, deconectarea utilizatorilor pentru efectuarea măsurătorilor de interferență nu este acceptabilă în multe cazuri. Complexitatea se referă la necesitatea coordonării între un număr mare (zeci - sute) de dispozitive pentru care relațiile de interferență se schimbă des (interval de zile, ore sau chiar minute).

### 2.3.1 Complexitatea algoritmică

Continuând exemplul anterior, pentru a identifica interferența asupra comunicației  $B \rightarrow A$  este necesar să considerăm toate dispozitivele de tip  $C$  și  $D$  prezente în rețea. Deoarece nivelul de trafic nu poate fi cunoscut în avans, în principiu orice combinație de dispozitive  $C$  și  $D$  trebuie considerată separat. Pentru o rețea de întindere mică și cu aria de interferență mare este posibil ca toate dispozitivele să intre în zona  $D$ . În consecință toate părțile acestei multimi, (adică toate dispozitivele în afara de  $A$  și  $B$ ) duc la o complexitate exponențială chiar și pentru o singură pereche de comunicare  $A - B$ . Așa cum am arătat în [12], interferența pentru o populație mare de dispozitive are un număr de proprietăți:

1. rata de livrare  $A \rightarrow B$  depinde în mod linear atât de rata oferită pentru  $A \rightarrow B$  cât și de rata la care agentul de interferență de tip  $D$  operează. Acest fapt este important în reducerea numărului de măsurători.
2. independența agenților de interferență de tip  $D$ . Dacă aceștia sunt independenți din punct de vedere carrier sense, atunci efectul global al agenților de tip  $D$  poate fi compus din efectele individuale. Așadar efectele mai multor dispozitive de tip  $D$  pot fi combinate pentru a prezice efectele oricărei multimi arbitrare de dispozitive. Aceasta implică ignorarea dispozitivelor cu nivel foarte redus de interferență (de tip  $E$ ) care individual nu pot produce vreun efect asupra comunicației  $A \rightarrow B$ , dar luate împreună pot produce zgomot care afectează comunicația  $A \rightarrow B$ . Ponderea statistică a acestei situații a fost măsurată ca fiind foarte redusă.

3. inconsistența de la o interfata la alta.

Am măsurat capacitatea de livrare (0-100%) între două dispozitive într-un interval de 17 ore. Dispozitivele sunt dotate fiecare cu două interfețe `ath0` și `ath1` ale caror antene se afla la o distanță de 40cm. Pentru o frecvență purtătoare de 5GHz această diferență de distanță este suficientă pentru a produce o legătură diferită. Experimentul a fost confirmat pentru un număr mare de perechi de dispozitive pe durata mai multor luni de măsurători. Concluzia este că pentru măsurarea interferenței, fiecare interfata trebuie măsurată separat.

4. inconsistența de la un canal la altul.

În maniera similară cu exemplul precedent, un număr de canale din banda de 5GHz este explorat pe o perioadă de 28 de ore, și se constată caracterul foarte divers al canalelor considerate. Atât din punct de vedere cantitativ - al capacității măsurate, dar și din punct de vedere calitativ - în consistența în timp a legăturii obținute. Pentru măsurarea interferenței, fiecare canal trebuie măsurat separat.

Primele două proprietăți identificate au un caracter benefic prin aceea că reduc numărul de măsurători la triplete ordonate de tipul (A, B, D). De asemenea, măsurătorile pot fi efectuate la o scară nominală atât pentru transmițător cât și pentru agentul de interferență, și apoi scalate corespunzător. Aceste măsurători pot fi apoi combinate pentru a prezice efectul cumulativ al unui grup arbitrar de agenți de interferență fiecare cu rate de transmisie arbitrare.

Proprietățile 3 și 4 au un caracter negativ prin aceea că duc la creșterea numărului de măsurători. Considerând toate proprietățile identificate măsurarea interferenței se poate face cu o complexitate de  $O(fn^2c^2)$  pentru întreaga rețea unde  $f$  este numărul de interfețe,  $n$  numărul de dispozitive, iar  $c$  numărul de canale ortogonale disponibile. Această complexitate este prohibitivă chiar și pentru rețelele de dimensiune redusă. De exemplu pentru o rețea de 20 de noduri, un singur canal, o singură interfata, și măsurători de 15 secunde timpul total de măsură este de peste 2 ore. În acest interval funcționarea rețelei este întreruptă pentru a asigura acuratețea măsurătorilor. Considerând punctele de acces moderne cu 2 sau mai multe interfețe, și cele 13 canale disponibile pentru 802.11a, timpul de măsurare a interferenței devine complet inacceptabil.

Pentru rețelele cognitive, în absența standardelor, cercetarea actuală are mai mult un caracter speculativ. Formulele propuse pentru algoritmi de

acces la mediu precum C-MAC [18] introduc protocoale noi, de obicei în afara standardelor existente. O problema neexplorată încă, dar de interes pentru utilizatorii individuali, este funcționarea standardelor existente (802.11) în medii cognitive. Oricare ar fi natura tehnică a acestei adaptări, estimarea continuă a interferenței generată de utilizatorii secundari este încă o problemă deschisă.

### 3 Harta interferenței

Așa cum am arătat în secțiunea 2, pentru fiecare dispozitiv  $A$ , scopul este de a determina care este relația cu partenerul de comunicație  $B$  și cu potențialele surse de interferență (dispozitive de tip  $C$  și  $D$ ). Comunicarea dintre  $A$  și  $B$  poate fi exprimată ca o probabilitate de livrare (PDR packet delivery ratio), concurența dintre  $A$  și  $C$  poate fi exprimată ca o rată de partajare a mediului, iar influența lui  $D$  asupra comunicării  $A$ - $B$  ca o fracție din PDR. Ratele de livrare pot fi vizualizate într-o matrice  $d_{AB}$  unde  $A$  este emițătorul iar  $B$  receptorul. Concurența CS dintre  $A$  și  $C$  se exprimă ca un graf CS, în care avem un arc orientat  $A \rightarrow C$  atunci când  $A$  cedează mediul lui  $C$  (sau o matrice  $cs_{AC}$ ). Influența lui  $D$  asupra comunicării  $A \rightarrow B$  se exprimă ca  $d_{AB}^D$  și este o fracțiune din  $d_{AB}$ .

Aceste trei structuri de date sunt numite în mod colectiv “harta interferenței”. În această secțiune vom examina metode de măsurare și colectare a hărții de interferență.

#### 3.1 Proceduri de măsurare

Procesul de măsurare se desfășoară în mai multe etape (această procedură a fost mai întâi propusă în [11]) și este descris de algoritmul 1. De fapt, sunt incluse două proceduri distincte: pașii 1.1 și 1.2 colectează ratele de livrare pentru toate perechile de noduri din rețea. Deși există  $n^2$  astfel de perechi,  $n$  sunt executați concurent, prin folosirea difuzării iar complexitatea acestei porțiuni este deci liniară. Se poate de asemenea obține din traficul utilizatorilor (live) dacă sunt îndeplinite condiții de lipsă a interferenței. Pentru pașii 1.3 and 1.4, se produc două măsurători: interferența la emisie (carrier sense), și interferența la recepție.  $A$  și  $B$  pot trimite pachete la viteză maximă, iar din volumul de conflict pe care îl percep, pot determina  $cs_{AB}$  și  $cs_{BA}$  folosindu-se de datele colectate în pasul 1.3b. Complexitatea acestei

---

**Algorithm 1** Procedura de bază

---

1. un nod  $A$  din rețea difuzează pachete la viteza maximă; fiecare alt nod  $B$  din rețea măsoară rata de livrare  $A \rightarrow B$ .
  2. toate nodurile rulează pe rând pasul 1.
  3. o pereche  $(A, B)$  difuzează pachete la viteza maximă.
    - (a) fiecare nod  $C$  măsoară rata livrării:  $d_{A,B}^C$  fiind rata livrării  $A \rightarrow C$  cu  $B$  pe post de agent de interferență;  $d_{B,A}^C$  fiind rata livrării  $B \rightarrow C$  cu  $A$  pe post de agent de interferență.
    - (b) tot în acest pas,  $B$  și  $A$  măsoară rata pachetelor pe care fiecare o poate trimite în mediu.
  4. toate perechile (neordonate) de noduri din rețea execută pe rând pașii 3.
- 

proceduri simple este  $O(n)$  pentru ratele de livrare, și  $O(n^2)$  pentru grafurile de CS și de interferență. Problema scalabilității acestor măsurători provine din faptul că se cere absența oricărui trafic în rețea pe durata măsurătorilor. De exemplu, pentru o rețea cu 20 de noduri, măsurători de 10 secunde, 3.5 ore au fost necesare pentru colectarea întregii baze de date.

Interferența la recepție în pasul 1.3 este menținută atunci când agentul de interferență este în afara zonei CS a emițătorului. Când agentul de interferență este în zona CS cu emițătorul, avem de a face cu interferența la emisie, capturată de graful CS.

Soluția pe care o propunem implica măsurători concurente care reduc complexitatea procesului cedând parțial din acuratetea măsurării. Prin exploatarea distribuției spațiale a nodurilor, o mare parte din măsurători se pot efectua concurrent în cazul în care probabilitatea de coliziune este neglijabilă. Teste preliminare au demonstrat fezabilitatea metodei la scara mică de câteva dispozitive. Metoda pe care o investigăm se bazează pe măsurători la nivelul legăturii de date (livrarea pachetelor), și pe algoritmi de decizie care pot fi plasați la unul din nivelele superioare:

- pentru o rețea domestică, măsurarea interferenței și deciderea unei politici de alocare a frecvențelor se poate face doar independent, fără co-

ordonare. Eventual un grup de dispozitive pot fi coordonate sa urmeze o politica comuna si sa partajeze o baza de date de masuratori. Algoritmul de decizie este plasat sub nivelul retea, pentru a proteja utilizatorul de dificultatea (re)configurarii.

- pentru o retea institutionala, o solutie centralizata este acceptabila, o unitate centrala fiind capabila de a analiza masuratorile de interferenta de la o colectie mare de dispozitive WiFi aflate sub administratie comuna. Centralizarea da posibilitatea optimizarii folosind informatii multiple despre starea rețelei: cantitatea de trafic, regimul (date, voce), rutele existente. Algoritmul de alocare a frecvențelor se afla complet in afara ierarhiei OSI, desi face uz de informatii de la nivelele 2,3, si 4.

- pentru o retea multihop (municipala, senzori) auto-interferenta este inamicul principal in cazul folosirii unui singur card wireless. In cazul folosirii de mai multe carduri, problema interferentei se compune cu problemele de rutare si de alocare a frecvențelor, rezultand in probleme cu complexitate prohibitiva (NP-complete). Aici se impune folosirea unor euristici pentru rezolvarea aproximativa a colorarii grafurilor (frecvența fiind asociata cu o culoare).

## 4 Algoritmi randomizati de masurare

Complexitatea  $O(n^2)$  a metodelor existente provine din doua surse: masurarea interferentei la transmisie si masurarea interferentei la receptie. Pentru transmisie, fiecare pereche de dispozitive aflate in CS trebuie sa emita la flux maxim, pentru a decide in ce proportie au fiecare acces la mediu. O proportie de 100% ( $cs=1$ ) denota faptul ca dispozitivul nu sesizeaza nici o alta purtatoare in vecinatate. O proportie de 50% ( $cs=0.5$ ) semnifica partajarea cu un alt dispozitiv intr-o relatie simetrica de CS. O proportie de 0% (foarte improbabil) semnifica cedarea fiecarei arbitrari de acces la mediu in favoarea unui altor noduri.

In Figura 4, un factor de interferenta permanent  $J$  este indicat impreuna cu aria legaturii de date, iar nodul  $A$  impreuna cu aria CS. Pentru simplificare consideram ca  $A, B, C$  si  $D$  au arii CS similare.  $CS(J)$  nu este indicat in figura, dar poate fi mai mare sau mai mic decat  $CS(A)$  in functie de puterea folosita de  $J$ . Problema de rezolvat este de a afla daca  $A$  se afla in  $CS(J)$ . In loc de a masura toate perechile de noduri din retea, ceea ce duce la complexitate patratica, propunem suprapunerea randomizata a masuratorilor  $CS(J,A)$ ,

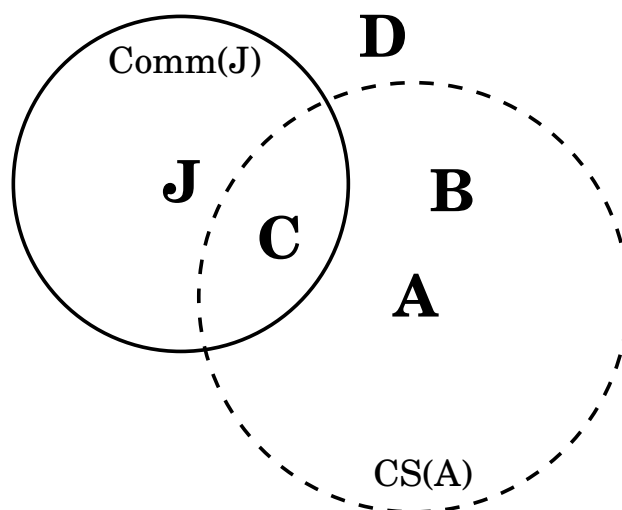


Fig. 4: Detectia relației de CS între A și J.

$CS(J,B)$ ,  $CS(J,C)$ , etc. Intr-o sesiune, J transmite la capacitatea maxima, iar celelalte noduri din retea incearca sa evalueze in ce mod pot capata accesul la mediu in timpul sesiunii. Daca accesul se face in timp scurt, nodul nu are concurenta. Daca timpul este prelungit, se datoreaza pierderii arbitrarii CS. Este esential ca dispozitivele A, B, C, si D sa nu intre in conflict CS unul cu altul, ci doar cu nodul J. Aceasta abordare masoara o discretizare binara a functiei  $cs(A,J)$  care poate avea orice valoare intre 0 si 1. Deoarece J foloseste mediul fara a respecta CS, nodurile in  $CS(J)$  nu sunt capabile sa trimita nici un pachet, in timp ce nodurile mai departate vor castiga o parte dintre arbitrari.

Pentru interferenta la receptie, metoda curenta cere ca o pereche de noduri, de exemplu J si A in Figura 4 sa emita la flux maxim in acelasi timp, in timp ce nodul C masoara rata de livrare  $A \rightarrow C$ . In principiu toate aceste triplete din retea trebuiesc masurate, ceea ce necesita o complexitate cubica. De fapt, nodul C este doar receptor, deci toate nodurile din retea pot rula in aceeasi sesiune in care A si J sunt transmitatori, ceea ce duce la complexitatea patratica a numarului de sesiuni necesare. Ceea ce propunem in cadrul prezentului proiect este de a reduce si aceasta complexitate la nivel linear. O sesiune consta din J emitand la nivel maxim, iar nodul A emite probabilistic la intervale randomizate. Toate celelalte noduri monitorizeaza receptia de la A in prezenta factorului de interferenta J. Scopul transmisiei-

---

**Algorithm 2** Măsurarea probabilistică a interferenței la emisie
 

---

1. Nodul  $J$  difuzează la capacitate maximă cu funcția CS dezactivată.
  2. fiecare nod  $A$  (excluzând  $J$ ) în rețea difuzează cu rata  $f$ .
    - (a) fiecare nod  $A$  (excluzând  $J$ ) decide dacă  $A \in CS(J)$ .
  3. Fiecare nod din rețea rulează pe rând pasul 2, toate celelalte rulează 2.
- 

nilor randomizate de catre  $A$  este de a permite nodurilor din vecinatate -  $B$ ,  $C$ ,  $D$ , etc de a rula aceeasi procedura cu o probabilitate de coliziune scazuta.

Ambele metode propuse promit masurarea interferentei in intreaga retea intr-un timp linear de sesiuni -  $2n$  ( $n$  fiind numarul de noduri). Fiind inasa metode randomizate, vor avea o fractiune de detectii fals pozitive sau fals negative pentru CS, respectiv valori imprecise pentru interferenta la receptie (terminal ascuns). Aceasta pierdere de precizie depinde de urmatorii parametri de functionare: densitatea dispozitivelor 802.11, capacitatea de masurare real-time a sistemului de operare, durata unei sesiuni, corespondenta dintre modelul teoretic si implementarea hardware/software.

Complexitatea masuraorilor poate fi redusă daca pașii 4 în algoritmul 1 pot fi rulați simultan. O metoda de a simula aceasta concurența este de a avea măsurari scurte distribuite aleator în timp, astfel încât suprapunerea lor să fie negliabilă.

## 4.1 Măsurarea probabilistică a interferenței la emisie (Carrier Sense)

În figura 4, avem un agent de interferență  $J$  indicat cu zona de comunicație, și un nod  $A$ , indicat cu zona CS asociată. Pentru o reprezentare simplificată, presupunem zone CS de dimensiuni similare pentru  $A, B, C, D$ .  $CS(J)$  nu este indicată în figura și poate fi mai mica sau mai mare decât a lui  $A$ , în funcție de puterea folosită la  $J$ . Sarcina este de a determina dacă  $A \in CS(J)$ . În funcție de primitivele hardware disponibile, propunem doi algoritmi:

Algoritmul 2 rulează simultan toți pașii din algoritmul 1.3b. Un agent de interferență emite la capacitate maximă, iar toate celelalte noduri, ca și emițători încearcă să decida dacă de fapt cedează mediul sau nu. În particu-



---

**Algorithm 3** Măsurarea probabilistică a interferenței la emisie

---

1. Nodul  $J$  la capacitate maximă.
  2. fiecare nod  $A$  (excluzând  $J$ ) în rețea trimite unicat perechi de pachete cu rata  $f$  către o adresă MAC inexistentă
    - (a) fiecare nod  $A$  (excluzând  $J$ ) decide dacă  $A \in CS(J)$ .
  3. Fiecare nod din rețea rulează pe rând pasul 1.
- 

lar, se măsoară  $A \in CS(J)$ , ceea ce este o discretizare binară a  $cs_{AJ}$ . Această implementare necesită acces la firmware sau la funcțiile card-ului pentru a crește limita de putere pentru CS la nodul  $J$ , cum se folosește în [3]. Deoarece  $J$  folosește mediul indiferent de ce fac alți emițători, nodurile în  $CS(J)$  nu reușesc să transmită deoarece mediul le apare ca ocupat. Nodurile care sunt departe de  $J$  au acces normal la mediu.

Deoarece  $A$  ia o decizie binară dacă se află în  $CS(J)$  se poate discuta despre pozitivele false și despre negativele false ale acestui proces de decizie. Negativele false nu sunt posibile deoarece  $J$  difuzează tot timpul. Pozitivele false se pot petrece atunci când accesul lui  $A$  este împiedicat de o altă stație care folosește aceeași politică de măsurători aleatoare. Probabilitatea acestei coliziuni de măsurători este mică dacă densitatea nodurilor este mică, iar probabilitatea  $f$  este deasemenea mică. Această soluție este simplă, dar depinde de acces la firmware pentru a dezactiva funcția CS. De exemplu, soluția menționată în [3] funcționează doar pentru chip-urile Atheros 5210, și nu poate fi reprodusă pe 5212. O altă opțiune ar fi să se folosească extensiile 802.11e care sunt activate pe driverele de generație mai nouă, cum ar fi madwifi. Fereastra de conflict poate fi redusă la 1 ( $cwmin=cwmax=1$ ) astfel încât  $J$  câștigă mereu în perioada de conflict, atunci când stația  $A$  folosește un  $cwmin$  mare.

Aceast algoritm folosește un agent de interferență  $J$  care are funcția  $CS$  obișnuită, și deci poate ceda mediul unor noduri din preajmă. Nodul  $A$  trimite pachete cu un maxim retry de 2 către o adresă inexistentă. Deoarece ACK nu va fi primit, o a doua încercare este transmisă. Diferența între recepțiile acestor pachete îi permite lui  $A$  să decidă dacă i-a cedat mediul lui  $J$ . Dacă diferența e scurtă, înseamnă ca pachetele sunt transmise unul după

---

**Algorithm 4** Măsurarea probabilistică a interferenței la recepție
 

---

1. Nodul  $J$  difuzează la capacitate maximă
  2. fiecare nod  $A$  (excluzând  $J$ ) în rețea difuzează rafale cu rata  $f$ , separate în timp în mod aleator.
    - (a) fiecare nod  $B$  (excluznd  $J$  și  $A$ ) măsoară  $d_{A,J}^B$ .
  3. Fiecare nod din rețea ruleaza pe rând pasul 1, în timp ce restul nodurilor rulează pasul 2a.
- 

altul. Dacă diferența e lungă,  $J$  a acaparat canalul, iar  $A$  a trebuit să cedeze înainte de retransmisie. Pentru această măsurătoare,  $A$  ncesită un al doilea card, sau un alt receptor cu recepție bună.

Negativele fale sunt posibile deoarece  $J$  nu blochează accesul 100% din timp, și poate chiar ceda altor noduri, iar  $A$  poate decide ca  $A \notin CS(J)$  doar pentru ca  $J$  a cedat mediul unui nod îndepărtat. Pozitivele false sunt deasemenea posibile ca și la algoritmul precedent - coliziune între măsurători. Noduri recum  $C$ , ce se află în zona de comunicație a lui  $J$  (Figura 4) nu creează probleme deoarece nu participă la măsurarea CS. Noduri precum  $D$  nu pot produce pozitive false deoarece nu-l pot forța pe  $A$  să cedeze mediul. Cazul cel mai defavorabil este atunci când toate nodurile în  $CS(A)$  pot produce coliziuni la măsurare.

## 4.2 Masurarea probabilistică a interferenței la recepție

Pentru interferența la recpție, propunem algoritmul 4 care rulează în mod simultan toți pașii 4a ai algoritmului 1 de mai sus. Un agent de interferență trimite la capacitate maximă în timp ce perechile sursă-destinație estimează concurrent probabilitățile de livrare.

Este important ca emițătorii de rafale să nu se suprapună în mod sistematic pentru ca aceste măsurători să se desfășoare cu succes. În orice caz, conflictele potențiale pentru un emițător de rafale apar doar în propria zonă de interferență, și nu în întreaga rețea. Rata coliziunilor acestor măsurători este desigur dependentă de rata  $f$  și de densitatea nodurilor în zona de interferență a emițătorului.

---

Ambii algoritmi rulează în timp liniar, fiecare nod din rețea jucând pe rând rolul unui agent de interferență, în timp ce toate celelalte noduri estimează în mod concurrent fie ratele de livrare, fie relația de CS.

## 5 Sumar

Harta interferenței este o colecție de structuri de date ce caracterizează efectul pe care fiecare nod îl are asupra rețelei. Ea este compusa din trei părți: matricea ratelor de livrare, graful CS, și graful de interferență. Metoda simplă de colectare a ultimelor două structuri folosește un timp patrat  $O(n^2)$ , unde  $n$  este numărul de noduri din rețea. Folosind măsuratori probabilistici, am arătat ca acestea pot fi culese în timp liniar, ceea ce le face accesibile rețelelor de dimensiune și densitate mare.

În continuare, se lucrează la implementarea algoritmilor și la evaluarea acurateții lor. Rata clasificărilor pozitive false crește odată cu creșterea densității, și cu rata de pachete folosite de fiecare măsurătoare. Evaluarea cantitativă a acestor pozitive false ajută la dimensionarea rețelei cu privire la noile proceduri propuse, în termeni de densitate, număr de canale, număr de carduri.

## Bibliografie

- [1] Jeffrey G. Andrews. Interference cancellation for cellular systems: A contemporary overview. *IEEE Wireless Networks*, April 2005.
- [2] Grace R. Woo, Pouya Kheradpour, Dawei Shen, and Dina Katabi. Beyond the bits: Cooperative packet recovery using physical layer information. In *ACM MobiCom*, 2007.
- [3] K. Jamieson, B. Hull, A. Miu, and H. Balakrishnan. Understanding the real-world performance of carrier sense. In *ACM SIGCOMM E-WIND Workshop*, 2005.
- [4] Murali S. Kodialam and T.V. Lakshman. Minimum interference routing with applications to mpls traffic engineering. In *IEEE INFOCOM*, volume 2, pages 884–893, 2000.
- [5] P. Gupta and P.R. Kumar. The capacity of wireless networks. *IEEE Transactions on Information Theory*, 46(2):388–404, 2000.

- 
- [6] Jinyang Li, Charles Blake, Douglas S. J. De Couto, Hu Imm Lee, and Robert Morris. Capacity of ad hoc wireless networks. In *ACM MobiCom*, pages 61–69, Rome, Italy, July 2001.
  - [7] K. Jain, J. Padhye, V. Padmanabhan, and L. Qiu. Impact of interference on multi-hop wireless network performance. In *ACM MobiCom*, San Diego, CA, September 2003.
  - [8] Ashish Raniwala, Kartik Gopalan, and Tzi-cker Chiueh. Centralized channel assignment and routing algorithms for multi-channel wireless mesh networks. In *ACM Mobile Computing and Communications Review(MC2R)*, volume 8, April 2004.
  - [9] Murali Kodialam and Thyaga Nandagopal. Characterizing achievable rates in multi-hop wireless networks: the joint routing and scheduling problem. In *MobiCom '03: Proceedings of the 9th annual international conference on Mobile computing and networking*, pages 42–54, New York, NY, USA, 2003. ACM Press.
  - [10] Murali Kodialam and Thyaga Nandagopal. Characterizing the capacity region in multi-radio multi-channel wireless mesh networks. In *MobiCom '05: Proceedings of the 11th annual international conference on Mobile computing and networking*, pages 73–87, New York, NY, USA, 2005. ACM Press.
  - [11] Jitendra Padhye, Sharad Agarwal, Venkata N. Padmanabhan, and Lili Qiu. Estimation of link interference in static multi-hop wireless networks. In *Internet Measurement Conference*, 2005.
  - [12] Dragoş Niculescu. Interference map for 802.11 networks. In *IMC '07: Proceedings of the 7th ACM SIGCOMM conference on Internet measurement*, pages 339–350, New York, NY, USA, 2007. ACM.
  - [13] Anand Kashyap, Samrat Ganguly, and Samir Das. A measurement-based approach to modeling link capacity in 802.11-based wireless networks. In *ACM MOBICOM*, 2007.
  - [14] Charles Reis, Ratul Mahajan, Maya Rodrig, David Wetherall, and John Zahorjan. Measurement-based models of delivery and interference in static wireless networks. In *ACM SIGCOMM*, Pisa, Italy, September 2006.

- 
- [15] Arunesh Mishra, Vivek Shrivastava, Dheeraj Agrawal, Suman Banerjee, and Samrat Ganguly. Distributed channel management in uncoordinated wireless environments. In *MobiCom '06: Proceedings of the 12th annual international conference on Mobile computing and networking*, pages 170–181, New York, NY, USA, 2006. ACM.
- [16] D.J. Leith and P. Clifford. A self-managed distributed channel selection algorithm for wlans. In *Modeling and Optimization in Mobile, Ad Hoc and Wireless Networks, 2006 4th International Symposium on*, pages 1–9, April 2006.
- [17] T. Ono, Y. Watanabe, H. Sugahara, K. Okanou, and S. Yamazaki. Radioscape - a radio propagation analyzing service for effective coverage area design. In *NEC Journal of Advanced Technology*, volume 1, pages 353–356, 2004.
- [18] C. Cordeiro and K. Challapali. C-mac: A cognitive mac protocol for multi-channel wireless networks. In *New Frontiers in Dynamic Spectrum Access Networks, 2007. DySPAN 2007. 2nd IEEE International Symposium on*, pages 147–157, April 2007.